

Кинетическая модель активной среды He–Ar-лазера с накачкой жестким ионизатором

Д.Н.Бабичев*, А.В.Карелин*, О.В.Симакова*, Х.Томизава**

Создана подробная нестационарная кинетическая модель He–Ar-лазера с накачкой жестким ионизатором. Численным моделированием установлено, что основными механизмами накачки верхнего рабочего уровня в зависимости от содержания аргона в смеси являются тройная рекомбинация атомарных ионов аргона с электронами или диссоциативная рекомбинация молекулярных ионов аргона с электронами. Конверсия димерных молекулярных ионов аргона в тримерные, тушение верхнего рабочего уровня нейтральными атомами и уширение спектральной линии обуславливают оптимальные условия генерации по полному давлению смеси и парциальному давлению аргона при различных условиях возбуждения. Модель удовлетворительно описывает целый ряд экспериментов по электронно-пучковой и ядерной накачке. В результате оптимизации He–Ar-лазера с ядерной накачкой от реактора ВИР-2М на $\lambda = 1.79$ мкм получен максимальный КПД генерации 1.2%.

Ключевые слова: лазер с ядерной накачкой, плазменные лазеры, электронно-пучковая накачка, кинетика, плазмохимия.

1. Введение

Лазеры высокого давления на атомных переходах инертных газов длительное время остаются одними из наиболее перспективных для создания мощных лазерных систем в ближней ИК области спектра. Основными их достоинствами являются низкие пороги накачки, большой ресурс работы, нетоксичность активной среды (АС) и возможность получения генерации на нескольких длинах волн. Наибольшее развитие получил Хе-лазер при различных способах накачки, а также ее мощностях и составах сред, т. к. он обладает самым низким порогом возбуждения и наибольшим КПД [1–6]. На изучение кинетики АС этого лазера были направлены значительные усилия [7–17].

Лазеры на переходах атомов других инертных газов, в том числе аргона, изучены менее подробно. Генерация в атоме аргона получена, в основном, на переходах между 3d- и 4p-уровнями при накачке смесей He–Ar и He–Ne–Ar электронными и ионными пучками [18–25], разрядом [20] и при ядерной накачке (ЯН) [3–5, 7, 26–32]. Наиболее подробно изучены генерационные характеристики на длинах волн $\lambda = 1.27$ и 1.79 мкм, для которых получены максимальные энергетические параметры: КПД выше 1% [27–29] и мощность излучения до 1 кВт [7] при ЯН и энергосъем около 2 Дж при накачке электронным пучком (ЭП) [18, 21]. Эти данные значительно уступают аналогичным характеристикам ксенонового лазера. Однако схожая структура термов атомов аргона и ксенона, схожесть кинетических процессов в смесях инертных газов и то, что верхний рабочий уровень (ВРУ) для перехода с $\lambda = 1.79$ мкм в Ar-лазере является самым нижним в своем

мультиплете, давали основания надеяться на возможность значительного улучшения имеющихся выходных параметров аргонового лазера. Удобным способом оценки перспективности лазера является построение кинетической модели его АС.

Многие вопросы кинетики Ar-лазера, в том числе механизм создания инверсии, до сих пор не выяснены, хотя попытки моделирования этого лазера уже предпринимались ранее в работах [33–35]. Все они различаются предлагаемыми механизмами накачки ВРУ. В работе [33] основная роль в заселении ВРУ отводилась диссоциативной рекомбинации (ДР) молекулярных ионов Ar_2^+ с электронами, в работе [34] – ДР гетероядерных ионов HeAr^+ с электронами, в работе [35] в качестве механизма накачки рассматривалась тройная рекомбинация (ТР) атомарных ионов Ar^+ с электронами.

Общими недостатками указанных моделей являются их «привязка» к одной экспериментальной установке (это, как правило, приводит к непригодности данных моделей при переходе к другим условиям) и использование в каждой из них высокой (до 100% [34, 35]) селективности прямого заселения ВРУ, что противоречит спектроскопическим исследованиям релаксации плазмы в смесях инертных газов [36]. Что касается модели [34], то, отводя роль накачки реакции ДР ионов HeAr^+ , она не учитывает ключевой процесс с участием этих ионов – реакцию их раз渲а атомами He с образованием Ar^+ (обратную образование HeAr^+ из Ar^+ в реакции трехчастичной конверсии с двумя атомами He). Вследствие очень низкой энергии связи (26.7 мэВ [36]) эта реакция должна протекать с большой скоростью (по нашим оценкам, скорость (в $\text{см}^3/\text{с}$) составляет $1.7 \cdot 10^{-10} e^{-26.7\text{мэВ}/T_g}$, где T_g – температура газа) и сильно влиять на равновесную концентрацию обоих ионов. Проведенный нами проверочный расчет по предложенной в [34] модели для двух случаев (с учетом и без учета реакции раз渲а ионов HeAr^+) показал, что в оптимальных условиях генерации отсутствие реакции раз渲а приводит к завышению в 10

*Институт общей физики РАН, Россия, 117769 Москва, ул. Вавилова, 38

**Japan Synchrotron Radiation Research Institute, 1-1-1 Kouto, Mika-zuki-cho, Sayo-Gun, Hyogo 679-5198, Japan

Поступила в редакцию 29 сентября 2000 г.

раз потока накачки на ВРУ в ходе ДР ионов HeAr^+ . Эта принципиальная ошибка и ряд других ошибок в описании кинетики Не–Ар-плазмы делают выводы и результаты [34] непригодными для понимания работы Не–Ар-лазера.

Цель настоящей работы – создание подробной нестационарной кинетической модели АС аргонового лазера, учитывающей возможное содержание примесей молекулярных газов N_2 , O_2 , H_2 и H_2O и позволяющей адекватно описывать широкий набор экспериментов при различных способах возбуждения. В расчетах использовался модифицированный комплекс программ «ПЛАЗЕР» [37].

2. Кинетика плазмохимических процессов в смеси Не–Ар

В кинетической модели лазера на смеси Не–Ар, содержащей примеси молекулярных газов N_2 , O_2 , H_2 и H_2O , учитывалось 46 компонентов плазмы: атомарные и молекулярные ионы аргона и гелия He^+ , He_2^+ , He_3^+ , Ar^+ , Ar_2^+ , Ar_3^+ , HeAr^+ , метастабильные состояния атома

гелия He^* , димеры гелия и аргона He_2^* , Ar_2^* и атомарные и молекулярные ионы примесных газов N^+ , O^+ , H^+ , N_2^+ , O_2^+ , H_2^+ , H_2O^+ . Рассматривались все возбужденные уровни атома аргона, принадлежащие состояниям $3d$, $3d'$, $4p$, $4p'$, $4s$, $4s'$. Схема перечисленных уровней и основных переходов в атоме аргона приведена на рис.1,а. Поупрощенная кинетика атома аргона включает в себя радиационные переходы между уровнями указанных выше конфигураций, тушение возбужденных уровней атомами Не и Аг и все возможные реакции электронного перемешивания для разрешенных переходов. Константы скоростей реакций электронного перемешивания на разрешенных переходах рассчитывались по формуле Ван-Реджемортера [38] с использованием сил осцилляторов и вероятностей распада из работы [39]. Для перехода с $\lambda = 1.79$ мкм бралась вероятность распада $1.1 \cdot 10^6 \text{ с}^{-1}$ [40]. Для излучения на переходах с резонансных уровней 1s_2 (1P_1) и 1s_4 (3P_1) в основное состояние аргона 1S_0 учитывалось влияние реабсорбции. Для этих переходов вероятности распада умножались на фактор ускользания θ , рассчитанный в плоской геометрии [41].

Экспериментальные данные по константам скоростей тушащих процессов возбужденных состояний $3d$, $3d'$ атомами гелия и аргона в литературе отсутствуют. В моделях [33, 34] для уровня $3d$ [$3/2]_{0,1}$ – ВРУ для $\lambda = 1.79$ мкм – брались значения $2 \cdot 10^{-12} \text{ см}^3/\text{с}$ [33] для гелия, а также $6 \cdot 10^{-10} \text{ см}^3/\text{с}$ [33] и $10^{-11} \text{ см}^3/\text{с}$ [34] для аргона. Нами использовались значения для гелия и аргона соответственно $3 \cdot 10^{-12}$ и $3 \cdot 10^{-11} \text{ см}^3/\text{с}$, полученные на основе наилучшего описания экспериментов. Для других уровней конфигурации $3d$, $3d'$, характеризующихся очень низкими энергетическими зазорами внутри мультиплетов и между ними (сотые доли электронвольт), использовались на порядок большие константы скоростей тушащих процессов: $5 \cdot 10^{-11} \text{ см}^3/\text{с}$. Константы скоростей прямых и обратных процессов связывались между собой принципом детального равновесия.

Сечения индуцированного излучения на переходах $i - j$ с длиной волны λ_{ij} и вероятностью радиационного распада ВРУ A_{ij} рассчитывались по формуле

$$\sigma_{ij}^{\text{st}} = \frac{A_{ij}\lambda_{ij}^2}{4\gamma},$$

где $\gamma = \gamma_d + \pi^2 \Delta v_{\text{col}}$ – эффективная ширина линии;

$$\gamma_d = \gamma_0 \frac{(2T_g)^{1/2}}{c\mu};$$

γ_0 – циклическая частота рабочего излучения; μ – масса атома Ar; Δv_{col} – столкновительная ширина линии; c – скорость света.

Экспериментальные данные по столкновительному уширению линий на рассматриваемых переходах отсутствуют. Для линии с $\lambda = 1.79$ мкм в настоящей работе использовались $\Delta v_{\text{col}} = 5.94 \cdot 10^9 \text{ с}^{-1}/\text{атм}$ при уширении линии гелием и $\Delta v_{\text{col}} = 7.2 \cdot 10^{10} \text{ с}^{-1}/\text{атм}$ при уширении линии аргоном, полученные из условия наилучшего совпадения результатов расчетов с экспериментальными данными.

Ионизующая способность источника накачки, характеризуемого плотностью мощности накачки (мощностью энерговклада) P_p , определялась частотой ионизации v_i , которая рассчитывалась по формуле

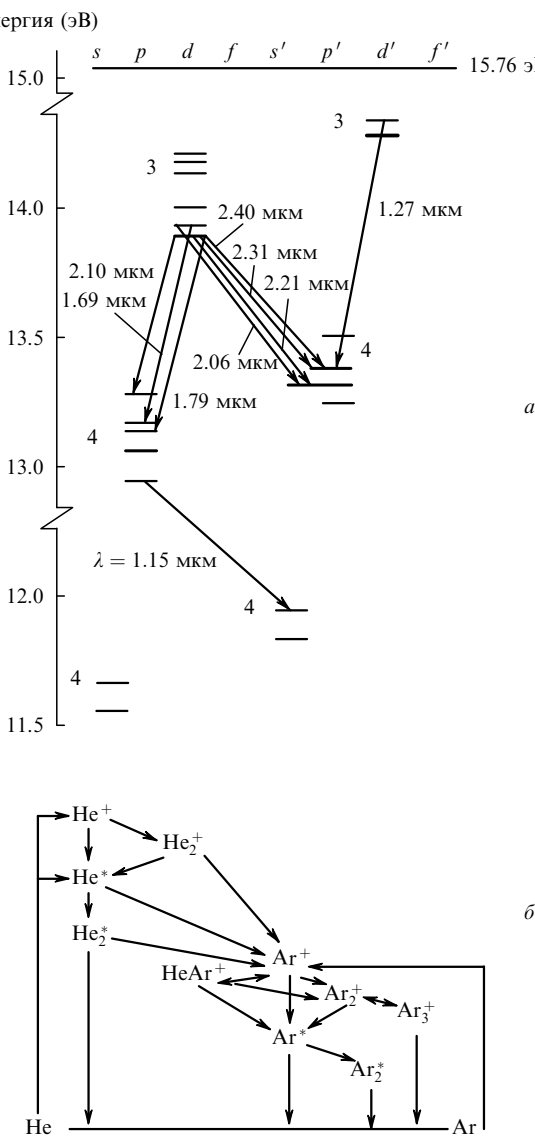


Рис.1. Схема термов атома Ar (a) и схема плазмохимических реакций в смеси Не–Ар (б).

$$v_i = P_p(1.3E_p N)^{-1},$$

где E_p – энергия образования электрон-ионной пары, равная 42 и 26 эВ для гелия и аргона соответственно; N – концентрация газа. Коэффициент 1.3 в формуле учитывает потерю энергии накачки на возбуждение атомов инертных газов электронами из основного состояния.

Для расчета плотности мощности накачки ЭП с плотностью тока j и энергией электронов пучка E использовалось выражение

$$P_p = 1.3 \frac{\Delta E}{\Delta x} \frac{p_{\text{max}} j}{e},$$

где $\Delta E/\Delta x$ – энергия, теряемая электронами пучка на одном сантиметре пути при прохождении им смеси с давлением $p_{\text{max}} = 1$ атм. Для энергии электронов $E = 300$ кэВ величины $\Delta E/\Delta x$ были взяты из работы [6]. В [6] экспериментально определена длина пробега электронов x_{run} в аргоне. Согласно выводам работы [42], отношение $\Delta E/\Delta x$ для трех инертных газов He, Ar и Xe в [6] рассчитано по формулам

$$\frac{\Delta E}{\Delta x} = \frac{E}{0.4x_{\text{run}}},$$

$$x_{\text{run}} = \frac{R_0}{\rho} \frac{A}{Z} \frac{E^2}{mc^2(mc^2 + E)},$$

где $R_0 = 0.27$ г/см²; ρ – плотность газа; A , Z – атомный вес и номер элемента; m – масса электрона. По этим же формулам мы пересчитывали $\Delta E/\Delta x$ для других энергий электронов.

Табл.1. Основные реакции в смеси He–Ar и их константы скоростей.

Номер реакции	Реакция	Константа скорости ($\text{см}^{3(n-1)}/\text{с}$)	Примечание
(1)	$\text{He}^+ + 2\text{He} \rightarrow \text{He}_2^+ + \text{He}$	$2.6 \cdot 10^{-33}/T_g$	[45]
(2)	$\text{He}^+ + \text{He} + \text{Ar} \rightarrow \text{He}_2^+ + \text{Ar}$	$0.8 \cdot 10^{-33}/T_g$	[46]
(3)	$\text{Ar}^+ + 2\text{Ar} \rightarrow \text{Ar}_2^+ + \text{Ar}$	$2.5 \cdot 10^{-31}(0.026/T_g)^{0.75}$	[47]
(4)	$\text{Ar}^+ + \text{Ar} + \text{He} \rightarrow \text{Ar}_2^+ + \text{He}$	$1.5 \cdot 10^{-31}(0.026/T_g)^{0.75}$	[53]
(5)	$\text{Ar}^+ + \text{He} + \text{He} \rightarrow \text{HeAr}^+ + \text{He}$	$10^{-32}(0.026/T_g)^{0.75}$	оценка
(6)	$\text{HeAr}^+ + \text{He} \rightarrow \text{Ar}^+ + 2\text{He}$	$1.7 \cdot 10^{-10}(0.026/T_g)^{-0.75} e^{-0.0267/T_g}$	$K_5 k_{\text{eq}}$
(7)	$\text{HeAr}^+ + \text{Ar} \rightarrow \text{Ar}_2^+ + \text{He}$	$3.6 \cdot 10^{-9}$	[49]
(8)	$\text{Ar}_2^+ + \text{Ar} + \text{Ar} \leftrightarrow \text{Ar}_3^+ + \text{Ar}$	$1.2 \cdot 10^{-31}(0.026/T_g)^{0.75}$	оценка
(9)	$\text{Ar}_2^+ + \text{Ar} + \text{He} \leftrightarrow \text{Ar}_3^+ + \text{He}$	$3.5 \cdot 10^{-32}(0.026/T_g)^{0.75}$	оценка
(10)	$\text{Ar}_3^+ + \text{e} \rightarrow 3\text{Ar}$	$10^{-6}(0.026/T_e)^{0.5}$	[50]
(11)	$\text{He}^* + \text{Ar} \rightarrow \text{Ar}^+ + \text{e} + \text{He}$	$1.3 \cdot 10^{-10}(T_g/0.026)$	[48]
(12)	$\text{He}_2^+ + \text{Ar} \rightarrow \text{Ar}^+ + 2\text{He}$	$2 \cdot 10^{-10}$	[49]
(13)	$\text{He}_2^+ + \text{Ar} + \text{He} \rightarrow \text{Ar}^+ + 3\text{He}$	$5 \cdot 10^{-31}$	оценка
(14)	$\text{He}^* + \text{He} + \text{Ar} \rightarrow \text{He}_2^* + \text{Ar}$	$1.85 \cdot 10^{-33} e^{-0.067/T_g}$	[46]
(15)	$\text{He}^* + 2\text{He} \rightarrow \text{He}_2^* + \text{He}$	$2 \cdot 10^{-33} e^{-0.067/T_g}$	[45]
(16)	$\text{Ar}^* + 2\text{Ar} \rightarrow \text{Ar}_2^* + \text{Ar}$	$3.3 \cdot 10^{-32}(0.026/T_g)^{0.75}$	[47]
(17)	$\text{Ar}^* + \text{Ar} + \text{He} \rightarrow \text{Ar}_2^* + \text{He}$	$10^{-32}(0.026/T_g)^{0.75}$	оценка
(18)	$\text{Ar}^* + \text{He} + \text{He} \rightarrow \text{HeAr}^* + \text{He}$	$5 \cdot 10^{-35}(0.026/T_g)^{0.75}$	оценка
(19)	$\text{Ar}_2^+ + \text{e} \rightarrow \text{Ar}^* + \text{Ar}$	$7.37 \cdot 10^{-8} T_e^{-0.67}$	[36]
(20)	$\text{Ar}^+ + \text{e} + \text{e} \rightarrow \text{Ar}^* + \text{e}$	$5.4 \cdot 10^{-27}/T_e^{-4.5}$	[51]
(21)	$\text{Ar}^+ + \text{e} + (\text{He}, \text{Ar}) \rightarrow \text{Ar}^* + (\text{He}, \text{Ar})$	$2.4 \cdot 10^{-31} T_g T_e^{-3.5}$	[51]
(22)	$\text{Ar}^* + \text{Ar}^* \rightarrow \text{Ar}^+ + \text{e} + \text{Ar}$	$1.2 \cdot 10^{-9}$	[52]

Примечания: n – число реагентов; температура газа T_g и температура электронов T_e берутся в электронвольтах.

В случае ЯН осколками деления ^{235}U , вылетающими из урановых слоев объемом V_f в лазерную кювету объемом V_g при облучении ее потоком тепловых нейтронов с плотностью F , плотность мощности накачки P_p определяется выражением [43]

$$P_p = \epsilon E_f F \sigma_f N_5 V_g V_f^{-1},$$

где ϵ – эффективность передачи энергии осколков деления газу [44]; E_f – энергия осколков деления; σ_f – сечение деления ^{235}U тепловыми нейтронами; N_5 – концентрация ядер ^{235}U .

Накачка жестким ионизатором смеси He–Ar приводит к образованию ионов и возбужденных состояний гелия и аргона (на рис.1,б изображена схема плазмохимических реакций, в табл.1 приведены основные реакции в смеси He–Ar). Далее в реакциях трехчастичной конверсии (1)–(5) нарабатываются молекулярные ионы He_2^+ , Ar_2^+ , HeAr^+ . Ионы HeAr^+ разваливаются атомами гелия в реакции (6) с константой скорости, связанной с константой скорости реакции (5) константой равновесия $K_{\text{eq}} = 1.7 \cdot 10^{22} (26 \text{ мэВ}/T_g)^{-3/2} e^{-26.7 \text{ мэВ}/T_g}$, участвуют в реакции перестройки (7) с образованием молекулярных ионов Ar_2^+ или диссоциативно рекомбинируют с образованием Ar^* .

В реакциях трехчастичной конверсии молекулярных ионов Ar_2^+ (8), (9) образуются молекулярные ионы Ar_3^+ , которые либо разрушаются в обратных реакциях с константами скоростей, связанными с константами скоростей реакций (8), (9) константой равновесия $K_{\text{eq}} = 3.86 \times 10^{21} (26 \text{ мэВ}/T_g)^{-3/2} e^{-0.22 \text{ эВ}/T_g}$, либо диссоциативно рекомбинируют в реакции (10) с образованием атомов аргона в основном состоянии. Соотношение между потоками этих процессов и ДР Ar_2^+ , зависящее от плотности

мощности накачки и давления аргона, определяет оптимальную концентрацию ионов Ar_2^+ .

При сильном разбавлении смеси $\text{He}-\text{Ar}$ ($\delta_{\text{Ar}} = [\text{Ar}]/([\text{He}] + [\text{Ar}]) = 0.0001 - 0.1$) основная энергия накачки вкладывается в гелий, и в реакциях Пеннинга и перезарядки (11)–(13) энергия от гелия передается ионам аргона. Из-за того что сечение ионизации аргона электронами превышает сечение ионизации гелия больше, чем в 10 раз [54], уже при $\delta_{\text{Ar}} \geq 0.01$ возрастает роль каналов прямой ионизации и возбуждения аргона электронным ударом на фоне реакций (11)–(13). Возбужденные атомы He^* и Ar^* в реакциях ассоциации (14)–(18) образуют эксимерные молекулы He_2^* , Ar_2^* , HeAr^* , которые затем быстро радиационно распадаются в основное состояние.

В смеси $\text{He}-\text{Ar}$ метастабильные и резонансные состояния $4s$ атома аргона при большом разнообразии условий накачки накапливаются в большом количестве (порядка 10^{15} см^{-3}) вследствие малых вероятностей ($\sim 10^5 \text{ с}^{-1}$) их исчезновения в реакциях ассоциации (16)–(18) и тушения электронами в основное состояние (константы скоростей реакций (17), (18) были взяты порядка аналогичных констант для атома ксенона [55]). Наиболее мощным каналом исчезновения состояний Ar ($4s$) является хемоионизация (22), протекающая с большой скоростью (см. табл.1). В этой реакции образуются атомарные ионы аргона, которые затем опять участвуют в рекомбинации. Этот процесс определяет рециркуляцию энергии в $\text{He}-\text{Ar}$ -лазере и, как показывают расчеты, может обеспечивать до 50 % от полной эффективности. Впервые о влиянии хемоионизации на эффективность $\text{He}-\text{Ar}$ -лазера сообщалось в работе [25]. В [16] было показано, что аналогичная ситуация имеет место и в $\text{He}-\text{Xe}$ -лазере.

Лазерная смесь $\text{He}-\text{Ar}$ оказывается чувствительной к содержанию в ней примесей. Компоненты плазмы рабочих газов He^+ , He_2^+ , He^* , Ar^+ , Ar_2^+ , Ar^* легко передают энергию накачки атомарным и молекулярным компонентам примесей в реакциях перезарядки, Пеннинга и передачи возбуждения (подробная кинетика в смесях $(\text{He}, \text{Ar})-\text{N}_2-\text{O}_2-\text{H}_2-\text{H}_2\text{O}$ приведена в [56, 57]).

Всего с учетом поуроневой кинетики и процессов с участием молекулярных газов модель содержит свыше 500 плазмохимических реакций. Рассчитывались концентрации учитываемых в модели компонентов плазмы, температуры электронов и газа, КПД, мощность и энергия выходного излучения, ненасыщенный коэффициент усиления.

2.1. Механизмы создания инверсии на рабочих переходах

В кинетической модели рассматривались лазерные переходы с длинами волн $\lambda = 1.27 \text{ мкм}$ ($3d'[3/2]_1 - 4p'[1/2]_1$), 1.79 мкм ($3d[1/2]_{0,1}^0 - 4p[3/2]_{2,1}$) и 2.40 мкм ($3d[1/2]_0^0 - 4p[1/2]_1$). Особое внимание при моделировании уделялось переходу с $\lambda = 1.79 \text{ мкм}$, на этой линии производилась отработка модели. Линия с $\lambda = 1.79 \text{ мкм}$ принадлежит двум парам соседних близкорасположенных ($\Delta E \sim 18 \text{ мэВ}$) уровней, поэтому в модели этот переход рассматривался как один переход с попарно объединенными верхним и нижним уровнями. Для определения механизма накачки ВРУ проводился детальный анализ поведения концентраций компонентов плазмы и потоков различных реакций в зависимости от давления смеси p_{mx} , давления аргона p_{Ar} и мощности накачки.

В результате установлено, что в накачке ВРУ могут участвовать три процесса: ТР ионов Ar^+ , ДР ионов HeAr^+ и ДР ионов Ar_2^+ . Роль каждого из них зависит от содержания аргона δ_{Ar} в смеси. При $\delta_{\text{Ar}} \leq 10^{-3}$ основными аргоновыми компонентами в смеси являются атомарные ионы Ar^+ , и в потоке ТР Ar^+ с электронами переносится основной поток накачки. При этом потоки реакций ДР ионов HeAr^+ и Ar_2^+ составляют соответственно 15–25 % и 5–20 % от общего потока накачки в зависимости от p_{mx} . Доля ДР ионов HeAr^+ растет с ростом p_{mx} , т. к. потоки образования HeAr^+ в реакции (5) и его развала в обратной реакции (6) зависят от p_{mx} соответственно квадратично и линейно.

Далее с увеличением δ_{Ar} растет температура электронов, в результате реакций конверсии (4) и перезарядки (7) падают концентрации атомарных ионов Ar^+ и молекулярных ионов HeAr^+ и растет концентрация молекулярных ионов Ar_2^+ . Вследствие этого уменьшается роль потоков ТР ионов Ar^+ и ДР ионов HeAr^+ и растет роль потока реакции ДР Ar_2^+ , при $\delta_{\text{Ar}} \geq 0.01$ в потоке ДР переносится основной релаксационный поток. Это позволяет нам сделать вывод об основных механизмах накачки ВРУ в атоме аргона.

Особенностью перехода с $\lambda = 1.79 \text{ мкм}$ является то, что ВРУ $3d[1/2]_{1,0}^0$ является нижним в своей конфигурации, поэтому в результате радиационно-столкновительных переходов через него может проходить большая часть релаксационного потока. Этим можно объяснить преимущественную генерацию на этой длине волн в лазере высокого давления, каким является $\text{He}-\text{Ar}$ -лазер, даже без предположения об исключительной селективности прямого заселения этого уровня.

Экспериментальные данные относительно каналов ТР атомарных ионов отсутствуют. Можно предположить, что сначала в результате ТР заселяются высоковозбужденные состояния (выше $3d$, $3d'$) атома аргона, а затем в ходе радиационно-столкновительного каскада с этими уровнями заселяются состояния $3d$, $3d'$. Для наилучшего описания экспериментальных результатов нам потребовалось 35 и 12 % потока ТР, идущих соответственно на уровня $3d[1/2]_{1,0}^0$ ($\lambda = 1.79$ и 2.4 мкм) и $3d'[3/2]_1$ ($\lambda = 1.27 \text{ мкм}$) либо непосредственно, либо в результате радиационных переходов с вышележащих уровней, не учитываемых в модели. Остальная часть потока ТР распределена по другим состояниям: $4p$, $4p'$, $3d$, $3d'$.

Вследствие малой глубины потенциальной ямы HeAr^+ (26.7 мэВ) естественно предположить, что в ходе ДР этих ионов заселяются высоковозбужденные состояния атома аргона. В модели полагалось, что в результате ДР HeAr^+ все уровни $3d$ и $3d'$ заселяются одинаково. При определении парциальной доли потока ДР, идущей на ВРУ, мы ориентировались на результаты работы [36]. В [36] при изучении релаксации бесстолкновительной плазмы инертных газов было установлено, что подавляющая часть (свыше 90 %) потока ДР молекулярного иона Ar_2^+ переносится в линиях, начинающихся с уровней $4p$ и $4p'$ атома аргона. Однако на основании этих результатов можно сделать выводы о потоках на уровня $3d$ и $3d'$, считая, что уровни $4p$ и $4p'$ заселяются в результате радиационных переходов с уровнями $3d$ и $3d'$ атома аргона.

Распределив парциальный поток ДР, приведенный в [36], в соответствии с вероятностями распада на указанных переходах, мы получили, что напрямую на уровень $3d[1/2]_{1,0}^0$ (верхний для линии с $\lambda = 1.79 \text{ мкм}$) попадает

около 15 % потока накачки, а на уровень $3d'[3/2]_1$ (верхний для линии с $\lambda = 1.27$ мкм) – около 12 %. При этом около 25 % потока накачки как в ТР, так и в ДР непосредственно попадает на уровни $4p, 4p'$. В итоге, в результате радиационно-столкновительного каскада через нижний рабочий уровень (НРУ) проходит большая часть релаксационного потока, чем через ВРУ, поэтому важным процессом для создания инверсии является тушение рабочих уровней.

Согласно расчетам по формуле Ван-Реджемортера [38] с использованием вероятностей распада из работы [39], суммарные константы скоростей электронного перемешивания верхнего и нижнего рабочих уровней для линии с $\lambda = 1.79$ мкм равны (в см³/с) соответственно $1.8 \cdot 10^{-7}/T_e^{0.5}$ и $1.1 \cdot 10^{-7}/T_e^{0.5}$, где T_e – температура электронов в электронвольтах. Следовательно, в рабочих условиях инверсию на лазерных переходах определяет, в основном, тушение атомами буферного газа. Как говорилось выше, из-за отсутствия в литературе экспериментальных данных по константам скоростей этих процессов они подбирались в ходе моделирования. Поскольку состояние $4p'[1/2]_0$ лежит по энергетической оси ниже ВРУ $3d[1/2]_1^0$ на 0.374 эВ, что намного превышает аналогичный энергетический зазор для НРУ (0.076 эВ), есть основания считать, что вероятность тушения НРУ атомами гелия выше, чем вероятность тушения ВРУ. Для наилучшего совпадения с результатами экспериментов нами использовалась константа скорости тушения НРУ гелием, равная $7 \cdot 10^{-12}$ см³/с.

3. Численное моделирование Не–Ар-лазера

3.1. Тестирование модели

Кинетическая модель тестировалась на результатах экспериментов с Не–Ар-лазером при электронно-пучковой [20, 23] и ядерной [4, 5, 27] накачке. В работах [20, 23] эксперименты проводились на лазерной установке «Тандем». Накачка производилась пучком электронов с энергией 300–320 кэВ. При длительности импульса по основанию ~ 2 мкс [20] и 5 мкс [23] плотность электронного тока достигала 1.8 А/см² [20] и 1.7 А/см² [23]. В обеих работах [20, 23] среди прочих исследовалась смесь Не–Ар, для нее осуществлялась оптимизация энергетических характеристик при варьировании p_{mx} от 0.5 до 3.5 атм и относительного содержания аргона δ_{Ar} от 10^{-4} до 0.1. В качестве выходных энергетических характеристик приводятся как полная энергия генерации Q_g , так и КПД генерации η , рассчитанный по отношению к энергии, вложенной в АС. Поскольку энерговклад в работах [20, 23] отличается почти в 2 раза от рассчитанного нами с использованием результатов, полученных авторами этих работ в более поздней работе [6], при тестировании нашей модели на результатах экспериментов [20, 23] мы опирались на выходную энергию лазерного излучения.

В [23] во всем диапазоне исследованных p_{mx} оптимальной по КПД оказалась смесь состава Не:Ар = 100:1. Максимальная энергия генерации $Q_g = 1.73$ Дж достигалась при максимальном $p_{\text{mx}} = 3.5$ атм. Аналогичные результаты получены в расчете. На рис.2 представлены экспериментальные [23] и расчетные зависимости Q_g от δ_{Ar} при суммарном $p_{\text{mx}} = 3.5$ атм. В расчете максимальное $Q_g = 2.5$ Дж при КПД $\eta = 0.8\%$ достигнуто также при $p_{\text{mx}} = 3.5$ атм и $\delta_{\text{Ar}} = 10^{-2}$.

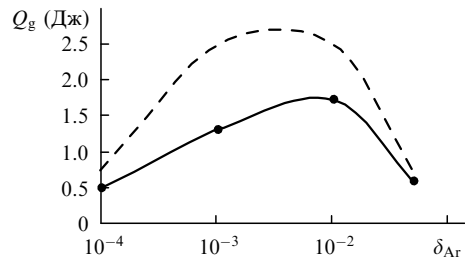


Рис.2. Зависимости полной энергии генерации Q_g от содержания аргона δ_{Ar} в смеси Не–Ар при $p_{\text{mx}} = 3.5$ атм, $j = 1.7$ А/см², $E \sim 320$ кэВ, длительности импульса накачки $\tau_p \sim 5$ мкс и расчетной температуре электронов $T_e \simeq 0.18 - 0.37$ эВ. Сплошная линия – эксперимент [23], штриховая – расчет.

В работе [20] получены аналогичные оптимальные условия генерации. На рис.3,а приведены экспериментальные [20] и расчетные зависимости полной энергии излучения Q_g от p_{mx} при разных δ_{Ar} . Для удобства анализа на рис.3,б те же результаты представлены в виде зависимости Q_g от δ_{Ar} при разных p_{mx} . С ростом p_{mx} (рис.3,а) при $\delta_{\text{Ar}} < 5 \cdot 10^{-2}$ растет Q_g . С увеличением δ_{Ar} эта зависимость нарушается. При $\delta_{\text{Ar}} = 5 \cdot 10^{-2}$ и 0.1 начинается спад энергии генерации при $p_{\text{mx}} = 2.5$ и 1.5 атм в эксперименте и 2 и 1 атм в расчете соответственно. Как можно видеть из рис.3,б, оптимальное δ_{Ar} , как и в [23], для всех исследуемых p_{mx} равно 10^{-2} . Как увеличение, так и уменьшение δ_{Ar} приводило к уменьшению энергии гене-

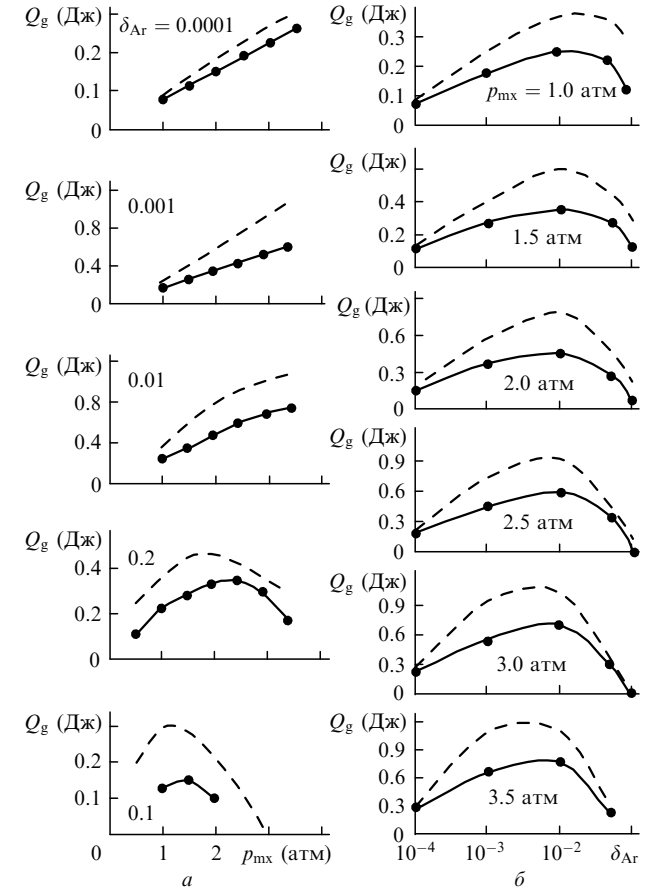


Рис.3. Зависимости полной энергии генерации Q_g в смеси Не–Ар от давления смеси p_{mx} при разных содержаниях аргона δ_{Ar} (а) и от δ_{Ar} при разных p_{mx} (б) для $j = 1.8$ А/см², $E \sim 300$ кэВ, $\tau_p \sim 2$ мкс и $T_e \simeq 0.18 - 0.42$ эВ. Сплошная линия – эксперимент [20], штриховая – расчет.

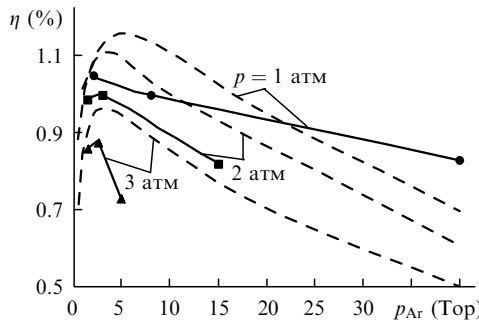


Рис.4. Зависимости КПД генерации η на $\lambda = 1.79$ мкм от давления Ar при разных давлениях смеси He–Ar и $T_e \approx 0.12 - 0.26$ эВ. Сплошная линия – эксперимент [5], штриховая – расчет.

рации. Максимальные $Q_g = 0.76$ Дж в эксперименте [20] и 1.1 Дж в расчете были получены при $p_{\text{mx}} = 3.5$ атм и $\delta_{\text{Ar}} = 10^{-2}$. Максимальный КПД достигался в эксперименте [20] при $p_{\text{mx}} = 2.5$ атм и том же δ_{Ar} . Максимальный расчетный КПД $\eta = 0.97\%$ получен при $p_{\text{mx}} = 1.5$ атм. Расчет зависимости Q_g от p_{mx} для условий экспериментов [20] и [23] в области больших давлений показал, что максимальная энергия 1.15 Дж [20] и 2.6 Дж [23] достигается при $p_{\text{mx}} = 4.5 - 5.5$ атм; при использовании более добротного резонатора максимальная энергия 1.55 Дж [20] и 3.5 Дж [23] достигается при $p_{\text{mx}} = 9 - 10$ атм.

На рис.4 сравниваются расчетные и экспериментальные [5] зависимости КПД генерации η на $\lambda = 1.79$ мкм от p_{Ar} в смеси He–Ar с давлением 1, 2 и 3 атм при ЯН большой мощности (~ 1 кВт/см³) от импульсного реактора ЭБР-Л [58, 59]. При изменении p_{mx} от 1 до 3 атм энерговклад за импульс менялся от 0.065 до 0.15 Дж/см³ (мощность энерговклада в пике менялась от 360 до 840 Вт/см³) при длительности импульса по основанию 0.4 мс [59]. В эксперименте оптимальным по КПД генерации (1.05 %) оказалось $p_{\text{mx}} = 1$ атм при $p_{\text{Ar}} \approx 2$ Тор ($\delta_{\text{Ar}} \approx 2.5 \cdot 10^{-3}$). При $p_{\text{mx}} = 2$ и 3 атм максимальные КПД 1 и 0.88 % соответственно достигались при больших p_{Ar} (3 и 2.5 Тор),

но при примерно тех же δ_{Ar} ($2 \cdot 10^{-3}$ и 10^{-3}). В расчетах максимальный КПД $\eta = 1.16\%$ был получен при $p_{\text{mx}} = 1$ атм и парциальном давлении аргона 5 Тор ($\delta_{\text{Ar}} \approx 6.5 \times 10^{-3}$). Максимальные КПД генерации для $p_{\text{mx}} = 2$ и 3 атм составили 1.11 и 0.97 % соответственно и достигались при меньших p_{Ar} (4 и 3 Тор; $\delta_{\text{Ar}} \approx 2.5 \cdot 10^{-3}$ и $1.3 \cdot 10^{-3}$). Разброс оптимального p_{Ar} в зависимости от p_{mx} в эксперименте связан, на наш взгляд, с малым числом экспериментальных точек. Анализ экспериментальной кривой для $p_{\text{mx}} = 1$ атм показал, что оптимальное p_{Ar} лежит в интервале 2–8 Тор.

Сравнение результатов расчетов с экспериментальными данными работы [27], полученными на реакторе SPR-III, представлено на рис.5. На нем изображены зависимости от p_{mx} для $\lambda = 1.79$ мкм мощности энерговклада на пороге генерации и мгновенного КПД η' , отнесенного к КПД генерации при $p_{\text{mx}} = 1$ атм, в момент, когда мощность энерговклада равна 75 Вт/см³. Мощность энерговклада при давлении гелия 1 атм в максимуме импульса накачки составляла 240 Вт/см³, длительность импульса накачки по основанию – около 2.5 мс, $\delta_{\text{Ar}} = 3 \cdot 10^{-3}$.

Максимальный КПД генерации составляет $1.4 \pm 0.4\%$ в эксперименте и 1.18% в расчете (рис.5, а) и достигается при $p_{\text{mx}} = 750$ Тор. Минимальные пороговые мощности энерговклада в эксперименте (3 Вт/см³) и в расчете (0.85 Вт/см³) соответствуют $p_{\text{mx}} = 250$ Тор и рас пространяются с ростом p_{mx} (рис.5, б).

Проводилось сравнение расчетов с экспериментами [4] по ЯН на реакторе ВИР-2М при малой мощности энерговклада (около 34 Вт/см³). На рис.6 приведены зависимости мощности генерации на $\lambda = 1.79$ мкм и пороговой плотности потока нейтронов от p_{Ar} в смеси He–Ar с давлением 2 атм. В [4] длительность импульса накачки на половине высоты составляла ~ 3 мс. Согласно [26], в подобных экспериментах используются инертные газы с содержанием примесей не более $5 \cdot 10^{-3}\%$. Расчеты для условий эксперимента [4] проводились с учетом этого обстоятельства. Из анализа расчетных зависимостей, полученных при различных суммарных содержаниях δ_{im} примесей N₂, O₂, H₂ и H₂O в диапазоне $0 - 5 \cdot 10^{-3}\%$, установлено, что наилучшее согласие с экспериментом достигается при $\delta_{\text{im}} = 1.5 \cdot 10^{-3}\%$. На рис.6 даны расчетные кривые для «чистой» смеси и для смеси с $\delta_{\text{im}} = 1.5 \cdot 10^{-3}\%$. Видно, что примеси играют важную роль при малом p_{Ar} и не оказывают заметного влияния на характеристи-

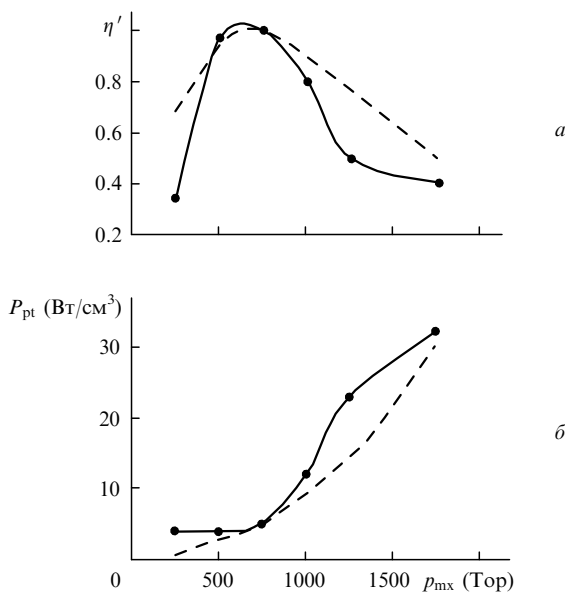


Рис.5. Зависимости мгновенного КПД генерации η' при мощности энерговклада 75 Вт/см³ (а) и пороговой мощности энерговклада P_{pt} (б) на $\lambda = 1.79$ мкм от давления смеси He–Ar при $\delta_{\text{Ar}} = 3 \cdot 10^{-3}$ и $T_e \approx 0.12 - 0.15$ эВ. Сплошная линия – эксперимент [27], штриховая – расчет.

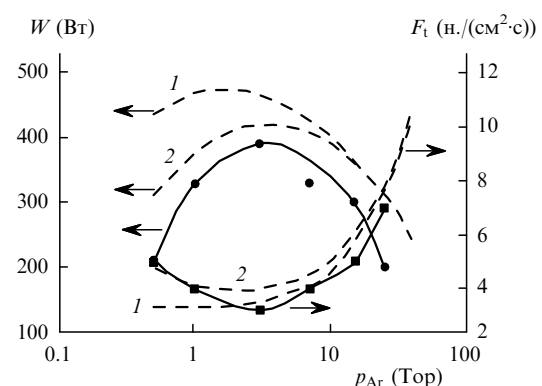


Рис.6. Зависимости мощности генерации W и пороговой плотности потока нейтронов F_t на $\lambda = 1.79$ мкм от давления аргона в смеси He–Ar при $p_{\text{mx}} = 2$ атм, $T_e \approx 0.075 - 0.12$ эВ. Сплошная линия – эксперимент [4], штриховая – расчет при чистоте смеси 100 (1) и 99.9985 % (2).

стистики лазера при достаточно больших p_{Ar} . Максимальные мощности генерации W и минимальные пороговые плотности потока нейтронов F_t соответственно 390 Вт и $3.2 \cdot 10^{14}$ н./ $(\text{см}^2 \cdot \text{с})$ в эксперименте и 420 Вт и $4 \cdot 10^{14}$ н./ $(\text{см}^2 \cdot \text{с})$ в расчете были достигнуты при $p_{\text{Ar}} = 3$ Тор.

3.2. Интерпретация полученных результатов

В рамках рассматриваемой модели характер приведенных на рис.2–6 кривых может быть объяснен следующим образом. Сначала с ростом парциальной доли аргона в смеси от нуля растет концентрация ионов Ar_2^+ и падают концентрации молекулярного иона He_2^+ и метастабильных атомов He^* в реакциях (11)–(13). Уменьшается вероятность реакции ДР ионов He_2^+ , которая в этих условиях является основным каналом исчезновения электронов, что ведет к росту их концентрации. В результате растет поток реакции ТР ионов Ar_2^+ с электронами (20), (21) в которой заселяется ВРУ. При $\delta_{\text{Ar}} > 10^{-3}$ вся энергия накачки от гелиевых компонентов передается компонентам аргона.

При дальнейшем росте δ_{Ar} все более ощутимым становится каналы конверсии атомарных ионов аргона в молекулярные в реакции (4) и перезарядки молекулярных ионов HeAr^+ в реакции (7). Растет концентрация молекулярных ионов Ar_2^+ , и увеличивается роль ДР этих ионов (19) в накачке ВРУ. В результате растет поток канала исчезновения электронов в ходе ДР Ar_2^+ , концентрация электронов достигает максимума (при $\delta_{\text{Ar}} \approx 10^{-3}$) и с увеличением δ_{Ar} начинает уменьшаться. Вследствие того что суммарный поток накачки на уровне, лежащие выше ВРУ, в ходе ДР превышает аналогичный поток ТР, смена механизма накачки ведет к росту эффективности генерации.

Давление аргона, при котором происходит смена механизма накачки на ВРУ, зависит от мощности накачки (концентрации электронов), давления p_{mx} и определяется конкуренцией двух пар процессов: исчезновения Ar_2^+ в ТР (20), (21) и в конверсии (4) и раз渲ла ионов HeAr^+ в реакции (6) и в перезарядке HeAr^+ на аргоне (7). Давление аргона, при котором начинают конкурировать эти процессы, выше при мощной ЭП-накачке, высокой концентрации электронов ($N_e = (1 - 2) \cdot 10^{14}$ см $^{-3}$) и низком p_{mx} (рис.3,б) ($\delta_{\text{Ar}} \approx 10^{-3} - 10^{-2}$), т. е. при слабой конверсии, и ниже при слабой ЯН (рис.6) и низкой концентрации электронов ($N_e < 10^{13}$ см $^{-3}$) ($\delta_{\text{Ar}} \approx 3 \cdot 10^{-4} - 10^{-3}$). Этой же причиной обусловлен более крутой рост зависимости КПД от p_{Ar} (рис.4) по мере роста p_{mx} , при котором реакция ДР, накачивающая ВРУ более эффективно, включается в накачку ВРУ при меньшем p_{Ar} .

В оптимальной по δ_{Ar} области накачку обеспечивает ДР молекулярных ионов Ar_2^+ , поэтому оптимум по δ_{Ar} определяется поведением иона Ar_2^+ . Оптимальная концентрация этого иона зависит от соотношения потоков реакций ДР (19) и конверсии Ar_2^+ в молекулярный ион Ar_3^+ (8), (9). При большей концентрации электронов и меньшем p_{mx} конверсия начинает конкурировать с ДР при большем p_{Ar} . Так, на рис.2, 3 в условиях ЭП-накачки оптимальное $\delta_{\text{Ar}} = 10^{-2}$. При $\delta_{\text{Ar}} > 10^{-2}$ с ростом p_{mx} происходит более резкий спад выходной энергии излучения (рис.3,б), т. к. при неизменных концентрации электронов и потоке ДР поток реакции конверсии растет пропорционально p_{mx}^2 .

При мощной ЯН ($N_e \sim 10^{14}$ см $^{-3}$, рис.4) оптимальное парциальное давление аргона ниже, чем при слабой ЯН,

оно уменьшается с ростом p_{mx} вследствие увеличения роли конверсии и составляет 5 Тор ($\delta_{\text{Ar}} = 6.5 \cdot 10^{-3}$), 4 Тор ($\delta_{\text{Ar}} = 2.5 \cdot 10^{-3}$) и 3 Тор ($\delta_{\text{Ar}} = 1.3 \cdot 10^{-3}$) для $p_{\text{mx}} = 1, 2$ и 3 атм соответственно. С уменьшением мощности энерговклада до 34 Вт/см 3 ($N_e < 10^{13}$ см $^{-3}$, рис.6) оптимальное p_{Ar} при $p_{\text{mx}} = 2$ атм уменьшается до 3 Тор ($\delta_{\text{Ar}} = 2 \cdot 10^{-3}$). При $\delta_{\text{Ar}} > 10^{-2}$ характеристики лазера ухудшаются также вследствие тушения ВРУ атомами Аг и уменьшения сечения индуцированного излучения.

Наличие оптимального p_{mx} (рис.3,а, кривые 4–6) определяется несколькими причинами. При $\delta_{\text{Ar}} < 10^{-2}$ (рис.3,б, кривые 4, 5) ухудшение выходных параметров излучения с ростом p_{mx} выше оптимального связано с тушением ВРУ атомами Не и с уменьшением сечения индуцированного излучения вследствие роста уширения спектральной линии на рабочем переходе атомами Не. При более мощной ЭП-накачке (более мощном выходном излучении) различие между потоками индуцированных и других переходов с ВРУ больше, чем при более слабой ЯН, поэтому чувствительность зависимостей выходных характеристик лазера от p_{mx} к этим двум процессам увеличивается с уменьшением мощности накачки (рис.4, 5). Также при ЭП-накачке тушение гелием ВРУ нивелируется тушением ВРУ электронами, поэтому оптимальное p_{mx} при накачке ЭП (с более высокой концентрацией электронов) выше (1.5–2 атм), чем при ЯН (1 атм, рис.4, 5). При $\delta_{\text{Ar}} > 10^{-2}$ конверсия Ar_2^+ в Ar_3^+ (8), (9) начинает конкурировать с ДР молекулярных ионов Ar_2^+ . При одинаковом соотношении компонентов (рис.3,б) поток ДР не меняется с давлением, в то время как поток конверсии пропорционален p_{mx}^2 , поэтому с увеличением δ_{Ar} оптимум по p_{mx} смещается в область меньших давлений (рис.3,б).

4. Оптимизация лазера с ЯН на смеси Ar–Xe

Для Не–Аг-лазера с накачкой от реактора ВИР-2М [2, 26] была проведена полная оптимизация энергетических параметров генерации на $\lambda = 1.79$ мкм. Полученные результаты представлены на рис.7. На нем изображены зависимости КПД η и полной выходной мощности генерации W от давления смеси p_{mx} в отсутствие примесей. Из рис.7 видно, что в диапазоне изменения $p_{\text{mx}} = 0.25 - 1.25$ атм КПД слабо меняется в пределах 1–1.18 %. Каждая точка на кривых является результатом оптимизации по мощности энерговклада P_p (подразумевалось, что максимальная плотность потока нейтронов

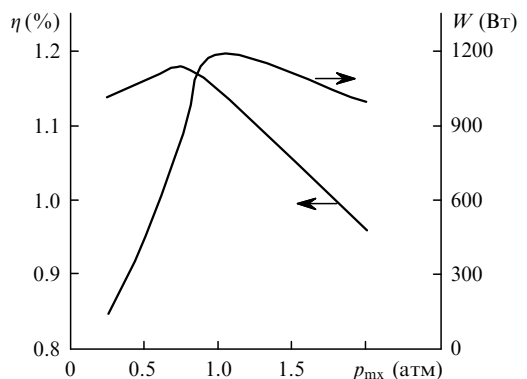


Рис.7. Зависимости КПД η и полной выходной мощности генерации W для $\lambda = 1.79$ мкм от давления смеси Не–Аг в условиях возбуждения от реактора ВИР-2М (ядерная накачка).

нов для реактора ВИР-2М составляет $2.5 \cdot 10^{15}$ н./($\text{см}^2 \cdot \text{с}$)), давлению аргона p_{Ar} и коэффициенту отражения зеркал резонатора R . При этом каждая точка в указанном интервале давлений принадлежит довольно широкому диапазону изменения этих параметров ($p_{\text{Ar}} = 0.5 - 5$ Тор, $P_p = 15 - 45$ Вт/ см^3 , $R = 0.85 - 0.98\%$), при которых КПД остается почти неизменным. Это означает, что приведенные ниже оптимальные условия генерации являются несколько условными. Максимальный КПД генерации 1.18 % достигается при $p_{\text{mx}} = 0.75$ атм, $p_{\text{Ar}} = 2$ Тор, $P_p = 30$ Вт/ см^3 , $R = 98\%$.

5. Заключение

Таким образом, созданная подробная нестационарная кинетическая модель лазера на ИК переходах атома аргона с $\lambda = 1.79, 1.27$ и 2.4 мкм в смеси Не–Аг, которая учитывает содержание в АС примесей $\text{N}_2, \text{O}_2, \text{H}_2$ и H_2O , успешно протестирована на экспериментальных результатах по электронно-пучковой и ядерной накачке. На основе численного моделирования установлено, что:

1. Основными механизмами накачки ВРУ ИК переходов атома Аг являются ДР молекулярных ионов Ar_2^+ с электронами и ТР ионов Ar^+ с электронами. Вклад каждого из механизмов в накачку ВРУ зависит от содержания аргона в смеси. Реакция ТР играет главную роль в накачке ВРУ при $\delta_{\text{Ar}} < 10^{-3}$, при $\delta_{\text{Ar}} > 10^{-3}$ основной вклад в накачку дает ДР, которая обеспечивает накачку ВРУ в оптимальных условиях генерации.

2. Метастабильные и резонансные состояния аргона $4s$ и $4s'$ определяют рециркуляцию энергии в реакциях хемоионизации, обеспечивая до 50 % потока энергии накачки.

3. Наличие оптимума по давлению аргона обусловлено конверсией ионов Ar_2^+ с атомами гелия и аргона в молекулярный ион Ar_3^+ .

4. Для лазера с ЯН максимальный расчетный КПД $\eta = 1.18\%$ был получен при $p_{\text{mx}} = 0.75$ атм, $p_{\text{Ar}} = 2$ Тор, $P_p = 30$ Вт/ см^3 , $R = 98\%$.

Результаты полной оптимизации Не–Аг-лазера с накачкой жестким ионизатором при различных условиях возбуждения будут опубликованы в последующих работах.

1. Середа О.В., Тарасенко В.Ф., Феденев А.В., Яковленко С.И. *Квантовая электроника*, **20**, 535 (1993).
2. Карелин А.В., Синянский А.А., Яковленко С.И. *Квантовая электроника*, **24**, 387 (1997).
3. Воинов А.М., Довбыш Л.Е., Казакевич А.Т., Кривоносов В.Н., Мельников С.П., Подмошенский И.В., Синянский А.А. *Письма в ЖТФ*, **5**, 422 (1979).
4. Воинов А.М., Кривоносов В.Н., Мельников С.П., Мочкаев И.Н., Синянский А.А. *Квантовая электроника*, **18**, 177 (1991).
5. Magda E.P., Grebyonkin K.F., Kryzhanovsky V.A. *Proc. Intern. Conf. LASER'90* (San Diego, USA, 1990, p.827).
6. Заярный Д.А., Семенова Л.В., Устиновский Н.Н., Холин И.В., Чугунов А.Ю. *Квантовая электроника*, **25**, 493 (1998).
7. DeYoung R.J. *Appl.Phys.Letts*, **38**, 297 (1981).
8. Держиев В.И., Жидков А.Г., Середа О.В., Яковленко С.И. *Кр.сообщ.физ.ФИАН*, № 4, 34 (1989).
9. Ohwa M., Moratz T.J., Kushner M.J. *J.Appl.Phys.*, **66**, 5131 (1989).
10. Воинов А.М., Мельников С.П., Синянский А.А. *Письма в ЖТФ*, **15**, № 19, 56 (1989).
11. Клоповский К.С., Лукьянов А.В., Рахимов А.Т., Суетин Н.В. *Квантовая электроника*, **16**, 205 (1989).
12. Колоколов Н.Б., Кудрявцев А.А., Никитин А.Г., Романенко В.А. *Оптика и спектроскопия*, **67**, 766 (1989).

13. Deese J.E., Hassan H.A. *AIAA J.*, **16**, 1030 (1978).
14. Lawton S.A., Richards J.B., Newman L.A. *J.Appl.Phys.*, **50**, 3888 (1979).
15. Witteman W.J., Gielkens S.W.A., Tskhai V.N., Peters P.J. *IEEE J.Quantum Electron.*, **34**, 250 (1998).
16. Карелин А.В., Симакова О.В. *Квантовая электроника*, **28**, 121 (1998).
17. Карелин А.В., Симакова О.В. *Квантовая электроника*, **28**, 129 (1998).
18. Peters P.J.M., Mei Q.-Ch., Witteman W.J. *Appl.Phys.B*, **47**, 187 (1988).
19. Ulrich A., Busch B., Krotz W., Ribitzki G., Weiser J. *Труды конф. по физике ядерно-возбужденной плазмы и проблемам лазеров с ядерной накачкой* (Обнинск, 1993, т.1, с. 54).
20. Басов Н.Г., Баранов В.В., Данилычев В.А., Дудин А.Ю., Заярный Д.А. и др. *Квантовая электроника*, **13**, 482 (1986).
21. Басов Н.Г., Баранов В.В., Данилычев В.А., Дудин А.Ю., Заярный Д.А. и др. *Квантовая электроника*, **13**, 488 (1986).
22. Басов Н.Г., Данилычев В.А., Холин И.В. *Изв. АН СССР. Сер. физич.*, **50**, 779 (1986).
23. Дудин А.Ю., Заярный Д.А., Семенова Д.В., Уситновский Н.Н., Холин И.В., Чугунов А.Ю. *Квантовая электроника*, **18**, 921 (1991).
24. Chapovsky P.L., Lisitsyn V.N., Sorokin A.R. *Optics Comms*, **16**, 33 (1976).
25. Berkelyev B.M., Dolgikh V.A., Rudoi I.G., Soroka A.M. *Laser Phys.*, **3**, 989 (1993).
26. Конак А.И., Мельников С.П., Порхаев В.В., Синянский А.А. *Квантовая электроника*, **22**, 537 (1995).
27. Hebner G.A., Hays G.N. *J.Appl.Phys.*, **71**, 1610 (1992).
28. Hebner G.A., Hays G.N. *IEEE J.Quantum Electron.*, **29**, 2356 (1993).
29. Bochkov A.V., Kryzhanovsky V.A., Magda E.P. *Proc. ICENES'98* (Tel-Aviv, 1998, vol. 2, p. 868).
30. Де Янг Р.Дж., Ялуфка Н.В., Холь Ф. *Ракетная техника и космонавтика*, **16**, 991 (1978).
31. Jalufka N.W., DeYoung R.J., Hohl F., Williams M.D. *Appl.Phys. Letts*, **29**, 188 (1976).
32. DeYoung R.J., Hohl F. *IEEE J. Quantum Electron.*, **16**, 1114 (1980).
33. Мельников С.П., Синянский А.А. *ЖТФ*, **62**, № 6, 159 (1992).
34. Shon J.W., Kushner M.J. *J.Appl.Phys.*, **75**, 1883 (1994).
35. Wilson J.W., DeYoung R.J., Harries W.L. *J.Appl.Phys.*, **50**, 1226 (1979).
36. Иванов В.А. *УФН*, **162**, № 1, 35 (1992).
37. Бойченко А.М., Держиев В.И., Жидков А.Г., Карелин А.В., Коваль А.В., Протопопов С.В., Середа О.В., Терновский И.М., Терских А.О., Юрьевский В.А., Яковленко С.И. *Препринт ИОФАН № 282* (М., 1987).
38. Van Regemorter H. *Astrophys. J.*, **136**, 906 (1962).
39. Аумор M., Coulombe M. *Atomic Data Nucl. Data Tables*, **21**, 537 (1978).
40. Lilly R.A. *J.Opt.Soc.Amer.*, **66**, 245 (1976).
41. Держиев В.И., Жидков А.Г., Яковленко С.И. *Излучение ионов в неравновесной плотной плазме* (М., Энергоатомиздат, 1986, с.160).
42. Молчанов А.Г. *Труды ФИАН*, **171**, 54 (1986).
43. Бойченко А.М., Карелин А.В., Яковленко С.И. *Квантовая электроника*, **22**, 547 (1995).
44. Карелин А.В., Середа О.В., Харитонов В.В. и др. *Атомная энергия*, **61**, 44 (1986).
45. Азимджанов Б.А., Арсланбеков Г.У., Бункин Ф.В., Держиев В.И., Жидков А.Г., Юрьевский В.А., Яковленко С.И. *Квантовая электроника*, **12**, 1557 (1985).
46. Карелин А.В., Яковленко С.И. *Квантовая электроника*, **22**, 769 (1995).
47. Kannari F., Suda A., Obara M., Fujioka T. *IEEE J. Quantum Electron.*, **19**, 1587 (1983).
48. *Справочник констант элементарных процессов с участием атомов, ионов, электронов, фотонов*. Под ред. А.Г.Жиглинского (СПб., Изд-во СПбГУ, 1994).
49. Вирин Л.И., Джагацянян Р.В., Каравечев Г.В., Потапов В.К., Тальрозе В.Л. *Ионно-молекулярные реакции в газах* (М., Наука, 1979, с. 548).
50. Смирнов Б.М. *Комплексные ионы* (М., Наука, 1983).

51. Биберман Л.А., Воробьев В.С., Якубов В.А. *Кинетика неравновесной низкотемпературной плазмы* (М., Наука, 1982).
52. Колоколов Н.Б. В сб. *Химия плазмы* (М., 1985, т. 12, с. 56).
53. Dickinson A.S., Roberts R.E., Bernstein R.B. *J. Phys. B*, **5**, 355 (1972).
54. Немец О.Ф., Гофман Ю.В. *Справочник по ядерной физике* (Киев, Наукова думка, 1975).
55. Заярный Д.А., Семенова Л.В., Устиновский Н.Н., Холин И.В., Чугунов А.Ю. *Квантовая электроника*, **25**, 229 (1998).
56. Карелин А.В., Симакова О.В. *Квантовая электроника*, **25**, 319 (1998).
57. Карелин А.В., Симакова О.В. *Квантовая электроника*, **25**, 779 (1998).
58. Крыжановский В.А., Магда Э.П. *Труды конф. по физике ядерно-возбуждаемой плазмы и проблемам лазеров с ядерной накачкой* (Обнинск, 1992, т. 3, с. 136).
59. Магда Э.П. *Труды конф. по физике ядерно-возбуждаемой плазмы и проблемам лазеров с ядерной накачкой* (Обнинск, 1992, т.1, с.65).